

Detecção de *Spams* Utilizando Conteúdo Web Associado a Mensagens

Marco Ribeiro¹, Leonardo Teixeira¹, Pedro Guerra¹
Adriano Veloso¹, Wagner Meira Jr.¹, Dorgival Guedes¹
Cristine Hoepers², Klaus Steding-Jessen², Marcelo Chaves²

¹Departamento de Ciência da Computação
Universidade Federal de Minas Gerais, Belo Horizonte, MG
{marcotcr, vilela, pcalais, adrianov, meira, dorgival}@dcc.ufmg.br

²CERT.br - Centro de Estudos, Resposta e Tratamento de Incidentes de Segurança no Brasil
NIC.br - Núcleo de Informação e Coordenação do Ponto br, São Paulo, SP
{cristine, jessen, mhp}@cert.br

Abstract

In this paper we propose a strategy of spam classification that exploits the content of the Web pages linked by e-mail messages. We describe a methodology for extracting pages linked by spam and we characterize the relationship among those pages and the spam messages. We then use a machine learning algorithm to extract features found in the web pages that are relevant to spam detection. We demonstrate that the use information from linked pages can significantly outperforms current spam classification techniques, as portrayed by Spam Assassin. Our study shows that the pages linked by spams are a very promising battleground, where spammers do not hide their identity, and that this battleground has not yet been used by spam filters.

Keywords: spam filtering, spam detection, security

Resumo

Neste trabalho propomos uma estratégia de detecção de spams que explora o conteúdo das páginas Web para as quais mensagens apontam. Descrevemos uma metodologia para a coleta dessas páginas, caracterizamos a relação entre as páginas e as mensagens de spam e, em seguida, utilizamos um algoritmo de aprendizado de máquina para extrair as informações relevantes para a detecção de spam. Mostramos que a utilização de informações das páginas mencionadas melhora significativamente a classificação de spams e hams, gerando um

baixo índice de falsos positivos. Nosso estudo revela que as páginas apontadas pelos spams ainda são um campo de batalha não explorado pelos filtros, onde os spammers não se preocupam em esconder a sua identidade.

Palavras-chave: finto de spam, detecção de spam, segurança

1. INTRODUÇÃO

Spam é um problema que tem acompanhado o desenvolvimento e popularização da Internet [8] e tem sido um meio usual de enviar mensagens relacionadas à obtenção de dados pessoais com objetivos ilícitos (*phishing*) e para a disseminação de códigos maliciosos [14]. O fato do custo de envio de *e-mails* ser muito baixo serve como incentivo ao uso do correio eletrônico para o envio de *e-mails* comerciais não solicitados em grandes quantidades [2], e os servidores de correio eletrônico têm que lidar com o fato de que entre 82% e 92% das mensagens recebidas são *spam* [12]. O prejuízo que essa prática acarreta a empresas e à sociedade é avaliado em bilhões de dólares [18].

O problema do *spam* é análogo a uma corrida armamentista (chamada comumente de *spam arms race* [7]). Isso significa que há uma evolução constante tanto de técnicas de detecção de mensagens indesejadas como da sofisticação das tecnologias adotadas pelos *spammers*. Nesta corrida, cada um tenta se sobrepor ao outro e a

mudança na estratégia de um lado induz a mudanças na estratégia do adversário. Os filtros anti-*spam* adotam, comumente, estratégias baseadas em filtragem de conteúdo de mensagens, como o *Spam Assassin* [19] e listas de bloqueio [3]. As duas estratégias são complementares, uma vez que a primeira trata do conteúdo da mensagem em si e a segunda trata das estratégias que o *spammer* utilizou para disseminar a mensagem. Vale notar que o objetivo final do *spammer* é ser atrativo o suficiente para o receptor tomar alguma ação — seja esta comprar algum produto ou seguir algum elo de navegação. Os filtros baseados em conteúdo obrigam o *spammer* a ofuscar suas mensagens, de forma que o *spammer* tem um compromisso entre manter o e-mail legível (e atingir menos caixas de entrada) e comprometer a legibilidade, possivelmente atingindo mais usuários. As estratégias dos *spammers* para evitar as listas de bloqueio, por outro lado, não comprometem a “qualidade” das suas mensagens.

Com o advento e popularização de técnicas de contaminação de máquinas por códigos maliciosos que podem transformar qualquer máquina de usuário em um *bot*, uma ferramenta para redistribuição de *spam* (entre outros usos), estratégias baseadas em listas de bloqueio têm se tornado menos eficientes [16]. A iminente troca de versão do protocolo IP (da versão 4 para a versão 6) provavelmente criará dificuldades ainda maiores para o sucesso das listas de bloqueio, uma vez o aumento da faixa de endereços disponíveis tornará mais difícil manter as listas de bloqueio atualizadas.

Em um trabalho recente, [7] caracterizaram a adaptação dos filtros em relação às estratégias utilizadas por *spammers* e mostraram como certas características são exploradas ao longo do tempo. Um aspecto do *spam* que ainda não é explorado pelos filtros e, conseqüentemente, não é ofuscado pelos *spammers*, é o conteúdo das páginas Web apontadas pelas *URLs* contidas nos *spams*. Muitas vezes essas páginas estão até mesmo fora do controle dos *spammers*, pertencendo a empresas externas que os contratam para divulgar seus produtos. [15] mostraram que pelo menos uma *URL* aparece em 85% a 95% dos *spams* presentes em todos os meses analisados por eles. Já [6] reportam que 96,5% das campanhas de *spam* observadas por eles continham pelo menos uma *URL*. Esse números indicam que técnicas que considerem o conteúdo das páginas como evidência para detecção e mitigação do *spam* pode ter impacto bastante positivo. Neste trabalho, mostramos que essas páginas podem oferecer informações valiosas acerca da natureza dos *spams*. Apesar de a obtenção dessas páginas implicar em um custo potencialmente alto para ser incluído em todos os servidores de correio eletrônico, essa informação pode contribuir para o desenvolvimento de novas ferramentas de identificação de *spam*.

Utilizamos duas bases de dados históricas de *spams* e

mensagens legítimas (também chamadas *hams*), *SpamArchive* [5] e *Spam Assassin*, para construir uma base de dados que relaciona mensagens e páginas. Utilizando essa base como estudo de caso, mostramos que a utilização das páginas melhora a detecção de *spam* em aproximadamente 10%, sem causar um aumento no índice de falsos positivos. As contribuições deste trabalho, portanto, são (i) a disponibilização de uma base de dados que relaciona mensagens de *spam* às páginas apontadas por elas e (ii) a proposta de uma metodologia para a detecção de *spam* através do conteúdo das páginas apontadas pelas mensagens. Mostramos que as páginas mencionadas nas mensagens de correio eletrônico são um campo de batalha promissor e que a informação proveniente das páginas ainda não é explorado pelos filtros.

O restante deste trabalho é organizado da seguinte forma: a Seção 2 apresenta os trabalhos relacionados, a Seção 3 descreve como a base de dados utilizada no trabalho foi obtida e apresenta uma caracterização da mesma; em seguida, a Seção 4 detalha a metodologia utilizada e os resultados são apresentados e discutidos na Seção 5; finalmente, as conclusões são apresentadas na Seção 6.

2. TRABALHOS RELACIONADOS

O comportamento dinâmico dos *spammers* já foi discutido em diversos trabalhos. Novas técnicas de envio de *spam* são documentadas em relatórios periódicos gerados por empresas de segurança, com estatísticas sobre as inovações e tendências do *spam*. O *spam arms race* tem sido caracterizado em trabalhos como [4], que identificaram algumas estratégias que *spammers* começaram a utilizar em 2002, como ofuscações de palavras para reduzir a eficácia de filtros bayesianos. [7] caracterizou a natureza evolutiva tanto do ponto de vista dos *spammers* quanto do ponto de vista dos filtros anti-*spam*.

Em [20], é apresentado um *survey* sobre técnicas de identificação de *spam* baseadas em classificação de texto. Um filtro que faz uso de grande parte das estratégias conhecidas atualmente é o *Spam Assassin* [19], que utiliza filtros bayesianos e listas de bloqueio DNS. Além disso, o *Spam Assassin* também conta com um conjunto de regras, geralmente representadas por expressões regulares, que são comparadas com os campos *body* ou *header* de cada mensagem. Ou seja, o *Spam Assassin* é um filtro que lida tanto com características do corpo da mensagem quanto características de rede.

Em [16], foi feito um estudo sobre a efetividade de listas de bloqueio baseadas em *DNS* em relação a *botnets*. Os resultados preliminares indicam que apenas 5% de todos os *IPs* dos bots estudados apareciam na lista de bloqueio utilizada. Em [17], é feita uma avaliação de várias listas de bloqueio, e mostra-se que as listas de blo-

queio apresentam um número significativo de falsos negativos e falsos positivos. Devido aos problemas potenciais de listas de bloqueio, é necessário a descoberta de novas técnicas.

Um método de detecção de *spam* baseado em características das *URLs*, como propriedades do endereço *IP* (incluindo a presença do mesmo em uma lista de bloqueio), propriedades de *WHOIS*, propriedades de domínio e propriedades geográficas é proposto em [11]. O autor não utiliza o conteúdo das páginas apontadas pelas *URLs*.

Em [23] construiu-se uma base de dados com páginas apontadas por *spams* da base de dados *Spam Archive* [5] no período entre novembro de 2002 e janeiro de 2006. Porém, essa base de dados tem como foco *Web Spam*, e não relaciona cada página a uma mensagem de *spam*, de forma que não pudemos utilizá-la.

Dessa forma, nosso trabalho é o primeiro, até onde sabemos, a empregar o conteúdo de páginas como evidência para identificação de *spams*, e o primeiro a disponibilizar uma base de dados que relaciona *spams* a páginas *Web*.

3. BASE DE DADOS

Em [15], mostrou-se que pelo menos uma *URL* aparece em 85% a 95% das mensagens de *spam* no *Spam Archive* no período entre 2004 e 2006, enquanto [6] reportaram que 96,5% de suas campanhas continham pelo menos uma *URL*. Apesar disso, a coleta de páginas de *spam* ainda é uma tarefa desafiadora. [1] mostra que poucas páginas têm um tempo de vida maior do que 13 dias, ou seja, a coleta das páginas tem que ser feita em um período próximo do instante que a mensagem foi disseminada.

Tabela 1. Descrição da base de dados obtida

Número de mensagens	63.034
Número de páginas	157.114
Número médio de páginas baixadas por mensagem	2,49

Entre julho e dezembro de 2010, nós obtivemos as mensagens de *spam* da base de dados *Spam Archive* diariamente (a base também é atualizada diariamente), de forma a obter as mensagens de *spam* mais recentes. Em seguida, extraímos as *URLs* do corpo das mensagens (utilizando os módulos Perl `URI::Find` e `HTML::LinkExtor`) e utilizamos expressões regulares simples para remover imagens e executáveis. Em seguida, carregamos e armazenamos as páginas (utilizando a biblioteca de transferências de *URLs libcurl* [9]). No caso de mensagens que continham múltiplas *URLs*, todas as *URLs* foram carregadas e armazenadas. Várias *URLs* continham redireciona-

mentos; nesse caso, seguimos todos os redirecionamentos e armazenamos o conteúdo final da página.

Para cada uma das 157.114 páginas obtidas com sucesso, armazenamos dois arquivos: o primeiro contém o conteúdo HTML da página e o outro contém as informações da sessão HTTP associada ao carregamento da página, contendo vários cabeçalhos. Além disso, associamos a página baixada com a mensagem correspondente. As características da base de dados obtidas são mostradas na Tabela 1, e a distribuição do número de páginas baixadas por mensagem é mostrada na Figura 1. Percebe-se que a grande maioria das mensagens contém poucas *URLs*. Vale notar que só consideramos parte da base de dados, em particular as mensagens para as quais pelo menos uma página foi baixada.

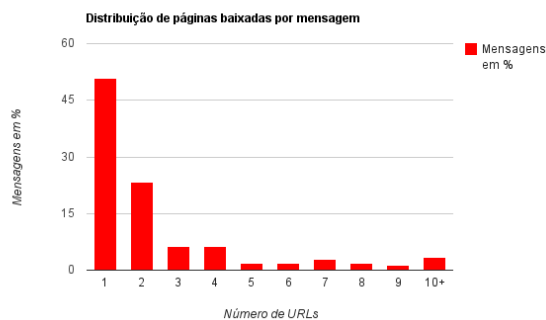


Figura 1. Distribuição do número de páginas baixadas por mensagem

4. METODOLOGIA

A técnica para detecção de *spam* que propomos se baseia nas páginas apontadas por *URLs* em mensagens de *spam*. Apesar de o acesso a essas páginas implicar em um custo extra, em uma implementação em produção nossa técnica poderia funcionar de forma complementar a outras estratégias de classificação de *spam*. Ao se analisar uma mensagem, carrega-se as páginas identificadas por *URLs* contidas na mesma e verifica-se se essas páginas possuem conteúdo que seja associado com campanhas de *spam* — da mesma forma que um filtro de conteúdo avalia o corpo da mensagem, mas nesse caso considerando o conteúdo da página. Esse conteúdo é então combinado com as outras características da mensagem (dadas pelo *Spam Assassin*) e o par (mensagem, página) é classificado para identificar *hams* e *spams*. Nesta seção descrevemos as operações em cada uma dessas etapas. O processo é ilustrado pelo diagrama apresentado na Figura 2 e pelo exemplo apresentado ao final.

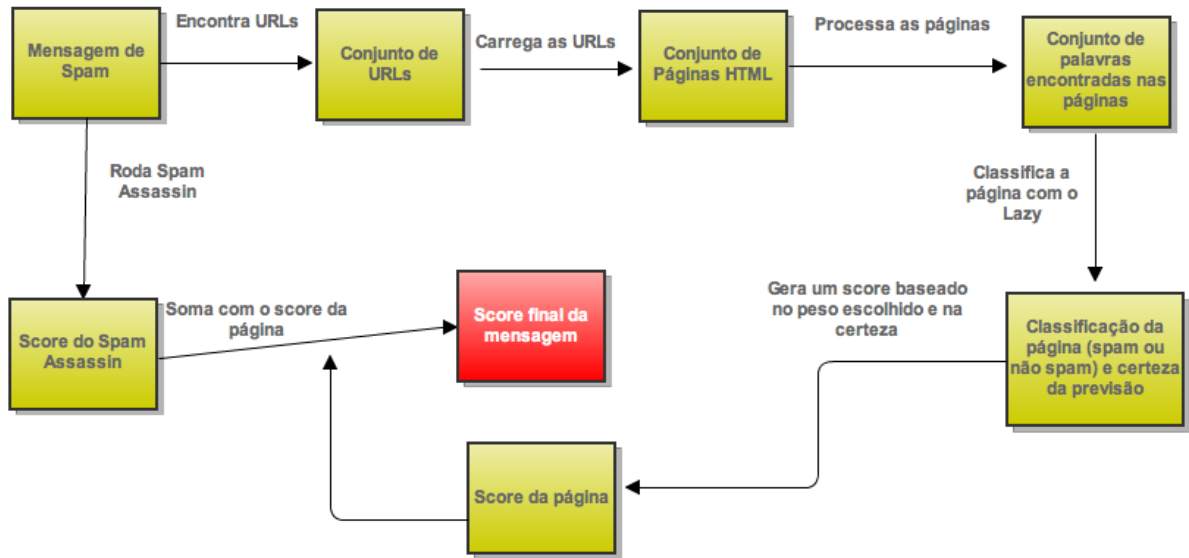


Figura 2. Diagrama ilustrativo da metodologia

4.1. PROCESSAMENTO DA PÁGINA

Após a identificação das URLs nas mensagens e o acesso às páginas por elas identificadas, utilizamos o navegador *lynx* [10] como um filtro para formatar a página em modo texto, retirando *tags* HTML e javascripts. Essa etapa é importante para eliminar ruídos devidos a pequenas mudanças de formatação e facilitar a representação de cada página para fins de detecção. Utilizando o *lynx*, temos uma representação bem próxima da representação que um usuário que visitasse a página teria. O programa gera um *dump* da página formatada para visualização, que é então utilizada pelo classificador associativo.

4.2. CLASSIFICAÇÃO DA PÁGINA

Para classificar a página, utilizamos um algoritmo de aprendizado associativo sob demanda [21]. Optamos por esse algoritmo por (i) ter bom desempenho para utilização em tempo real (o algoritmo consegue classificar em média 111 páginas por segundo), (ii) gerar um modelo de boa legibilidade (que pode ser facilmente transformado em um conjunto de expressões regulares, como

as do *Spam Assassin*) e (iii) ser bem calibrado [22]. Essa última característica significa que o algoritmo gera uma probabilidade de cada previsão estar certa, ou seja, as previsões com mais certeza são mais confiáveis. O algoritmo produz regras do tipo $\chi \rightarrow c$, onde χ é um conjunto de termos e c é a classe (*spam* ou *ham*). Cada uma dessas regras tem uma certa frequência (que chamamos de suporte) e uma confiança, que é dada pelo número de instâncias que são classificadas corretamente pela regra dividido pelo número de instâncias que contém o conjunto de termos χ . O resultado final da classificação de cada página é a classe predita pelo algoritmo e a certeza da predição, medida entre 0 e 1. Como o algoritmo é bem calibrado, a certeza da predição é confiável, e pode ser levada em consideração ao avaliar-se o peso associado à classificação de uma página.

Uma das dificuldades da detecção de *spam* é a assimetria entre o custo de se classificar um *spam* incorretamente e o custo associado aos diferentes tipos de erro. Um falso negativo simplesmente causa alguma irritação, *i.e.*, o usuário recebe uma mensagem indesejada. Por ou-

tro lado, um falso positivo pode ser crítico: uma mensagem importante pode nunca chegar à caixa de entrada do usuário, se for filtrada pelo servidor [4]. Em virtude do alto custo de se classificar uma mensagem legítima como *spam*, empregamos também a noção de *custo de classificação*. O custo de uma classe mede o quão caro é classificar incorretamente uma instância dessa classe. Ao ponderar todas as regras obtidas para uma determinada instância, o algoritmo faz uma soma ponderada das regras levando em conta a confiança e o custo de cada classe, de forma a valorizar mais regras que apontam para classes de custo mais alto. Isso implica que quanto maior o custo, mais certeza o algoritmo precisa ter para classificar uma página como *spam*.

Como o classificador associativo necessita de instâncias de ambas as classes (*spam* e *ham*), utilizamos uma base de dados pública de *hams*, fornecida pelo próprio *Spam Assassin*, como já citado. Para instâncias da classe *spam*, utilizamos a base de dados descrita na seção anterior.

4.3. CLASSIFICAÇÃO DA MENSAGEM

Há várias maneiras de se ponderar o resultado da classificação das páginas. Uma delas é associar um peso p à classificação da página, e ponderar p com as outras características já obtidas na mensagem. No *Spam Assassin*, por exemplo, uma mensagem é considerada *spam* se ela atinge 5 ou mais pontos (que são obtidos através das regras e listas de bloqueio). Uma forma de incorporar a nossa técnica ao *Spam Assassin* seria adicionar x pontos a uma mensagem se o algoritmo descrito na subseção anterior classificou a página como *spam*. Outra forma seria adicionar $x*c$ pontos à mensagem, onde x é um valor pré-determinado e c é a certeza da predição. Dessa forma, páginas com maior chance de serem identificadas como *spam* acarretariam em pontuações mais altas para as suas respectivas mensagens.

Outra forma seria eliminar completamente o uso de listas de bloqueio, e substituí-las pela nossa técnica. Essa forma pode ser interessante quando os recursos de rede disponíveis são limitados, uma vez que tanto as listas de bloqueio quanto a estratégia baseada em páginas exigem uma consulta a algum servidor externo.

Naturalmente, mensagens que não possuam *URLs* não podem ser classificadas pela nossa técnica. Essas mensagens podem ser filtradas pelos métodos convencionais de detecção de *spam*. Porém, como já foi mostrado, mais de 85% das mensagens contém *URLs* [15] [6].

4.4. EXEMPLO ILUSTRATIVO

Apresentamos um exemplo da aplicação da nossa técnica passo a passo. Escolhemos uma mensagem de *spam* obtida do *Spam Archive* no mês de outubro de

```
From: Discount Rolex_Etc. <@-hef@hef.fr>
To: ----
Subject: 75% Off on Gucci, Rolex, And Louis Vuitton Handbags and Various Other items
Date: Tue, 26 Oct 2010 19:20:16 +0300
MIME-Version: 1.0
Content-Type: multipart/alternative;
  boundary="-----_hnnlkay_21_61_99"
X-Priority: 3
X-Mailer: quddj 10
Message-ID: <4281462511.JBNTU20E381515@hvwuglmwirrh.fnezaq.biz>

-----_hnnlkay_21_61_99
Content-Type: text/plain;
  charset="windows-1250"
Content-Transfer-Encoding: quoted-printable

Stop paying more than you have to!
http://migre.me/13HMB
-----_hnnlkay_21_61_99
Content-Type: text/html;
  charset="windows-1250"
Content-Transfer-Encoding: quoted-printable

<!DOCTYPE HTML PUBLIC "-//W3C//DTD HTML 4.0 Transitional//EN">
<HTML><HEAD>
<META http-equiv=3DContent-Type content=3D"text/html; charset=3Dwindows-1250">
<STYLE></STYLE>
</HEAD>
<BODY>
<a href=3D"http://su.pr/6uaaSy">Stop paying more than you have to!</a>
</BODY></HTML>

-----_hnnlkay_21_61_99--
```

Figura 3. Mensagem de *spam* extraída do *Spam Archive*

2010. A Figura 3 mostra o corpo da mensagem (omitimos grande parte dos cabeçalhos por questão de espaço). Percebe-se que a mensagem é bem concisa, e ofuscada. O *Spam Assassin* sem listas de bloqueio encontra apenas a regra apresentada na Tabela 2.

Regra	Significado	Pontuação
HTML_MESSAGE	Há HTML na mensagem	0.001

Tabela 2. Regra encontrada para mensagem ofuscada

A pontuação resultante, portanto, é 0.001. O *Spam Assassin* com listas de bloqueio ativadas encontra as regras apresentadas na Tabela 3.

Regra	Significado	Pontuação
HTML_MESSAGE	Há HTML na mensagem	0.001
RCVD_IN_	Lista de bloqueio	1.644
BRBL_LASTEXT	DNS BRBL	
URIBL_BLACK	Há alguma URL contida em uma lista de bloqueio	1.775

Tabela 3. Regras encontradas com listas de bloqueio ativadas

A pontuação resultante é 3,4 – ainda insuficiente para classificar a mensagem como *spam*. Um excerto da página apontada pelas *URLs* dessa mensagem é ilustrado na Figura 4.

The screenshot shows a website for 'ULTIMATE PHARMACY'. At the top, it says 'we ship worldwide' with various country flags and '100% Secure Site'. The main header features the pharmacy logo and a banner with a woman and child. Below the banner are logos for VISA, MasterCard, and American Express, along with a 10% discount offer. The navigation menu includes Home, About Us, FAQ, Contact Us, View Cart, and Order Status. A sidebar on the left lists 'MENS HEALTH' products: Viagra, Viagra Brand, Viagra Professional, Viagra Soft Tablet, Viagra Oral Jelly, Cialis, Cialis Brand, Cialis Professional, Cialis Soft Tablet, and Levitra. The main content area displays several medications: Phentermine (Special Offer, \$3.22 per pill), Valium (10mg Tablets, 2.94 per pill, \$45.80 to \$266.00, Save \$79.8), Xanax (1mg Tablets, 3.29 per pill, \$45.80 to \$266.00, Save \$79.8), Soma (350mg Tablets, 1.44 per pill, \$45.80 to \$266.00, Save \$79.8), Ambien, Ultram, and Ativan. Each product listing includes a 'View Details' and 'ADD TO CART' button. There are also security badges for McAfee SECURE and a 100% Satisfaction Guarantee.

Figura 4. Página de spam apontada pela mensagem extraída do Spam Archive

Percebe-se, neste caso, que o conteúdo da mensagem e o conteúdo da página são totalmente diferentes. O conteúdo da página é transformado, então, em um conjunto de palavras (através do navegador lynx), que é entregue ao classificador associativo, que já dispunha de um conjunto de páginas de spam e não-spam como treino (no caso, as outras páginas armazenadas do Spam Archive e a base de dados de ham do Spam Assassin). O classificador associativo encontra um conjunto de regras, das quais alguns exemplos são:

Regra	Suporte	Confiança
<i>viagra</i> → Spam	36.70%	99.84%
<i>levitra</i> → Spam	34.01%	99.90%
<i>rather</i> → Ham	2.97%	67.30%

Por fim, o resultado final do classificador associativo é que a página é spam, com 90% de certeza. Supondo que tenhamos pré-definido que o peso das páginas seria $4 * c$,

sendo c a certeza do classificador associativo. Percebe-se que o valor de c é determinante na pontuação final da mensagem, de forma que as páginas que o classificador associativo tem menos certeza recebem uma pontuação menor. Essa página, portanto, teria pontuação igual a 3,6. Somando-se a pontuação obtida pelo Spam Assassin com a pontuação da página, temos uma pontuação igual a 7,0 – mais do que suficiente para classificar a mensagem como spam.

5. RESULTADOS E DISCUSSÃO

Para avaliar a aplicabilidade de se construir filtros anti-spam a partir do conteúdo das páginas, selecionamos todas as páginas únicas da base de dados. Optamos por avaliar apenas as páginas únicas para impedir que uma campanha de mensagens apontando para a mesma página enviasse os nossos resultados. Quando várias mensagens diferentes apontavam para a mesma página, uma

delas foi selecionada aleatoriamente para a avaliação, de forma que apenas uma instância de cada página permanecesse na avaliação. Ao final, portanto, avaliamos a nossa técnica em 32929 páginas *spam*, apontadas por 12111 mensagens de *spam* e 11134 páginas *ham*, apontadas por 4927 mensagens retiradas da base de *ham* do *Spam Assassin*. Utilizamos validação cruzada para a avaliação, dividindo as páginas em 5 partições. Utilizamos nossa técnica em conjunto com o filtro *Spam Assassin*, com suas regras e consultas a listas de bloqueio. Para combinar as pontuações do *Spam Assassin* e o resultado da classificação das páginas, multiplicamos um valor de peso pela certeza da previsão do classificador associativo e somamos esse resultado à pontuação dada pelo *Spam Assassin*. Vale notar que se o classificador associativo classifica uma página como *ham*, a pontuação da página, que é somada à pontuação do *Spam Assassin*, é negativa. Nas subseções seguintes mostramos a relação entre a certeza da classificação das páginas e a pontuação das mensagens dado pelo *Spam Assassin* e o impacto da variação dos parâmetros peso e custo. O classificador associativo foi executado com confiança 0.3, o custo das duas classes foi igual e o peso escolhido foi 4, exceto quando indicado diferente. Esses valores foram ajustados na validação cruzada.

5.1. COMPARAÇÃO COM SPAMASSASSIN

A Figura 5 mostra a relação entre a pontuação das mensagens dado pelo *Spam Assassin* e a certeza do classificador associativo de que a página é *spam*. As linhas azuis indicam as divisórias entre *hams* e *spams*, como dadas pelos dois classificadores. Os pontos verdes representam os *spams*, e os vermelhos representam os *hams*. Vale notar que há uma grande quantidade de *spams* no quadrante inferior direito – ou seja, *spams* que não são identificados pelo *Spam Assassin*, mas são identificados pela nossa técnica. Percebe-se também que a maioria dos *hams* no quadrante inferior direito possuem uma pontuação muito baixo no *Spam Assassin*, além de uma certeza baixa dada pelo classificador associativo, e portanto mesmo tendo sido incorretamente classificados pela nossa técnica, não seriam considerados como *spams* quando a combinação entre os scores fosse feita.

A métrica de McNemar [13] comparando o *Spam Assassin* com a classificação dada através das páginas tem um valor 677.6, e nos permite afirmar que os dois classificadores são diferentes com pelo menos 99.99% de certeza.

5.2. IMPACTO DO PARÂMETRO PESO

Mostramos na Figura 6 o impacto de diferentes valores de peso (que é multiplicado com a certeza da previsão do classificador associativo) no índice de falsos negativos

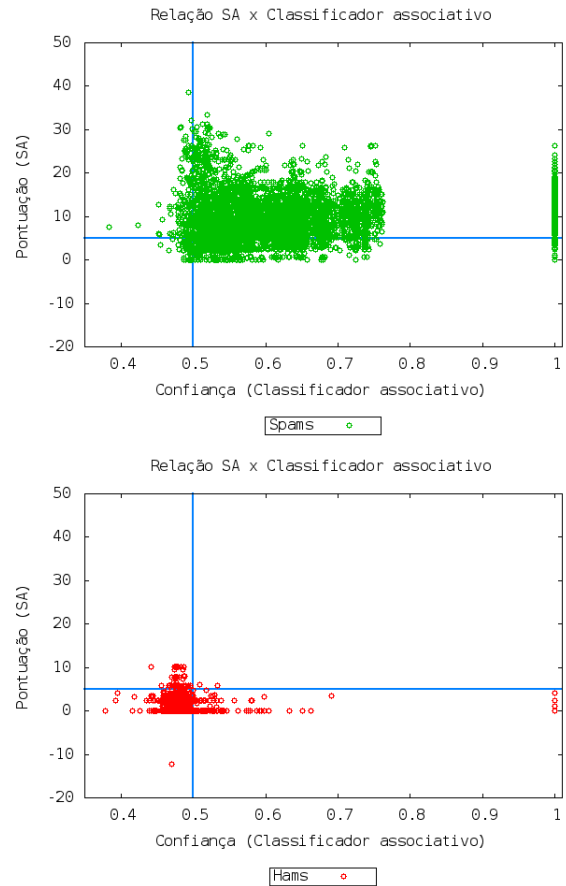


Figura 5. Pontuação do *Spam Assassin* x certeza da página ser *spam* do classificador associativo

e falsos positivos. Mostramos também na figura o índice de falsos positivos e falsos negativos gerados através da utilização do *Spam Assassin* sem a nossa técnica, para fins de comparação. Percebe-se que com um peso de até 4, o índice de falsos positivos permanece praticamente igual ao índice de falsos positivos do *Spam Assassin*, embora o índice de falsos negativos seja consideravelmente mais baixo. Selecionamos para os experimentos seguintes, portanto, o valor de peso 4, que representa o menor índice de falsos negativos sem aumentar o índice de falsos positivos.

5.3. IMPACTO DO PARÂMETRO CUSTO

Mostramos na Figura 7 o impacto da variação do custo no índice de falsos positivos e falsos negativos da nossa técnica. Os valores do eixo x representam a diferença entre o custo de se classificar um *ham* como *spam* e o custo de se classificar um *spam* como *ham*. Portanto, se o valor no eixo x é 50%, isso significa que é 50% mais custoso classificar um *ham* como *spam* do que vice-versa. Naturalmente, um aumento no custo gera uma redução do

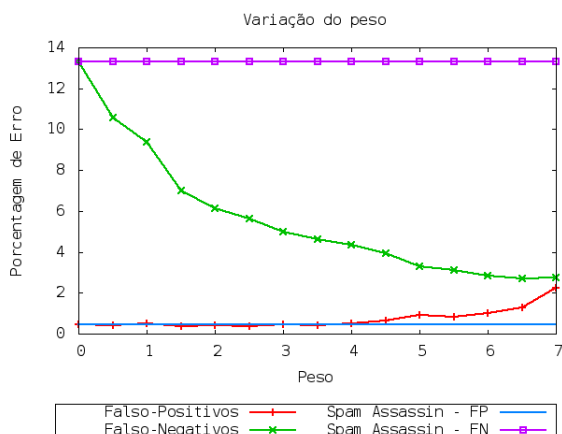


Figura 6. Falsos positivos e falsos negativos x Peso

índice de falsos positivos e um aumento no índice de falsos negativos. Com um custo maior do que 70%, nossa técnica passa a classificar *spams* com menos eficácia do que o *Spam Assassin*, embora o número de falsos positivos chegue a 0. É interessante notar que esse compromisso é ajustável na nossa técnica, através do parâmetro custo. Cabe ao usuário da técnica definir o custo de acordo com a sua necessidade.

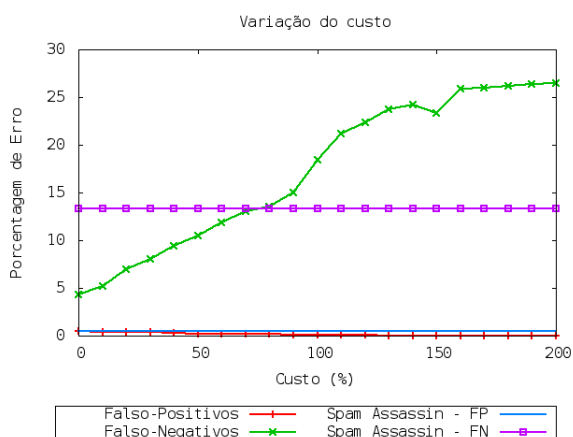


Figura 7. Falsos positivos e falsos negativos x Custo

6. CONCLUSÕES

Neste trabalho, mostramos que as páginas *Web* apontadas por mensagens de *spam* podem ser utilizadas com sucesso para a classificação dessas mensagens. Nossa proposta consiste em utilizar as páginas como complemento a outras estratégias já utilizadas de classificação de mensagens de *spam*.

Mostramos na seção de trabalhos relacionados que estratégias de filtragem de *spam* convencionais não fazem uso das páginas. A grande maioria dos *spams* contém *URLs* [15], e portanto podem ser filtrados pela nossa técnica. Mostramos também que uma das estratégias mais comuns para a filtragem de *spams*, o uso de listas de bloqueio, esta perdendo sua efetividade [16] [17], e portanto é necessário que novas técnicas de filtragem sejam estudadas e utilizadas. Neste trabalho propomos uma técnica que explora um aspecto no qual os *spammers* ainda não escondem a sua identidade. Além disso, as páginas muitas vezes não pertencem aos *spammers*, e portanto são um campo de batalha no qual os *spammers* estão em desvantagem.

Avaliamos o uso de um algoritmo de aprendizado de máquina sob demanda [21] para a classificação das páginas, e propomos uma forma de se agregar a classificação das páginas com a classificação tradicional das mensagens com o filtro *Spam Assassin* [19]. Mostramos que a utilização da nossa técnica melhora a filtragem de *spam* em mais de 10%, sem inserir um número significativo de falsos positivos. Mostramos também que a quantidade de falsos positivos pode ser ajustada com a variação do parâmetro custo.

Acreditamos que o trabalho abre novas possibilidades para o desenvolvimento de estratégias de filtragem de *spam*, introduzindo um aspecto totalmente novo e ainda não explorado na literatura. Em outras palavras, as páginas apontadas pelas mensagens constituem-se em um novo campo de batalha, com o qual hoje os *spammers* não precisam se preocupar. Neste novo campo de batalha, diferentes algoritmos podem ser utilizados para a classificação das páginas, e o resultado da classificação pode ser combinado com outras técnicas. Por fim, servidores de correio eletrônico poderiam utilizar as técnicas descritas em [6] para agrupar as mensagens em campanhas, de forma a diminuir o número de páginas a serem classificadas.

Agradecimentos

O presente trabalho foi realizado com o apoio do UOL (www.uol.com.br), através do Programa UOL Bolsa Pesquisa, Processo Número 20110215235100, e também do CNPq, CAPES, FAPEMIG e FINEP.

Referências

- [1] David S. Anderson, Chris Fleizach, Stefan Savage, and Geoffrey M. Voelker. Spamsscatter: Characterizing Internet Scam Hosting Infrastructure. pages 135–148, 2007.

- [2] Vinton G. Cerf. Spam, spim, and spit. *Commun. ACM*, 48(4):39–43, 2005.
- [3] Duncan Cook, Jacky Hartnett, Kevin Manderson, and Joel Scanlan. Catching spam before it arrives: domain specific dynamic blacklists. In *ACSW Frontiers '06: Proceedings of the 2006 Australasian workshops on Grid computing and e-research*, pages 193–202, Darlinghurst, Australia, Australia, 2006. Australian Computer Society, Inc.
- [4] Tom Fawcett. "in vivo"spam filtering: a challenge problem for kdd. *SIGKDD Explor. Newsl.*, 5:140–148, December 2003.
- [5] B Guenter. Spam archive, 2010. <http://untroubled.org/spam/>.
- [6] Pedro H. Calais Guerra, Dorgival Guedes, Wagner Meira Jr., Cristine Hoepers, and Klaus Steding-Jessen. Caracterização de estratégias de disseminação de spams. In *26o Simpósio Brasileiro de Redes de Computadores e Sistemas Distribuídos*, Rio de Janeiro, RJ, 2008.
- [7] Pedro H. Calais Guerra, Dorgival Guedes, Jr. Wagner Meira, Cristine Hoepers, Marcelo H. P. C. Chaves, and Klaus Steding-Jessen. Exploring the spam arms race to characterize spam evolution. In *Proceedings of the 7th Collaboration, Electronic messaging, Anti-Abuse and Spam Conference (CEAS)*, Redmond, WA, 2010.
- [8] Brian Hayes. Spam, spam, spam, lovely spam. *American Scientist*, 91(3):200–204, May–June 2003.
- [9] Libcurl, 2010. <http://curl.haxx.se/libcurl/>.
- [10] Lynx, 2010. <http://lynx.browser.org/>.
- [11] Justin Ma, Lawrence K. Saul, Stefan Savage, and Geoffrey M. Voelker. Beyond blacklists: learning to detect malicious web sites from suspicious urls. In *Proceedings of the 15th ACM SIGKDD international conference on Knowledge discovery and data mining*, KDD '09, pages 1245–1254, New York, NY, USA, 2009. ACM.
- [12] MAAWG. Email Metrics Program: Report #5 – Third and Fourth Quarter 2008. http://www.maawg.org/about/MAAWG_2008-Q3Q4_Metrics_Report.pdf, March 2009.
- [13] Quinn McNemar. Note on the sampling error of the difference between correlated proportions or percentages. *Psychometrika*, 12:153–157, 1947. 10.1007/BF02295996.
- [14] Jason Milletary. Technical trends in phishing attacks. Technical report, CERT Coordination Center, Carnegie Mellon University, October 2005. http://www.cert.org/archive/pdf/Phishing_trends.pdf.
- [15] Carlton Pu and Steve Webb. Observed trends in spam construction techniques: a case study of spam evolution. *Proceedings of the 3rd Conference on Email and Anti-Spam (CEAS)*, 2006.
- [16] Anirudh Ramachandran, David Dagon, and Nick Feamster. Can dns-based blacklists keep up with bots? In *In Proceedings of the 3rd Conference on Email and AntiSpam (CEAS) (Mountain View)*, 2006.
- [17] S. Sinha, M. Bailey, and F. Jahanian. Shades of grey: On the effectiveness of reputation-based blacklists. In *Malicious and Unwanted Software, 2008. MALWARE 2008. 3rd International Conference on*, pages 57–64, Oct. 2008.
- [18] Janice C. Sipiior, Burke T. Ward, and P. Gregory Bonner. Should spam be on the menu? *Commun. ACM*, 47(6):59–63, 2004.
- [19] SpamAssassin, 2008. <http://spamassassin.apache.org>.
- [20] Upasana and S. Chakravarty. A survey on text classification techniques for e-mail filtering. In *Machine Learning and Computing (ICMLC), 2010 Second International Conference on*, pages 32–36, Feb 2010.
- [21] Adriano Veloso, Wagner Meira Jr., and Mohammed J. Zaki. Lazy associative classification. In *ICDM*, pages 645–654. IEEE Computer Society, 2006.
- [22] Adriano Veloso, Wagner Meira Jr., and Mohammed Javeed Zaki. Calibrated lazy associative classification. In Sandra de Amo, editor, *SBBD*, pages 135–149. SBC, 2008.
- [23] Steve Webb. Introducing the webb spam corpus: Using email spam to identify web spam automatically. In *In Proceedings of the 3rd Conference on Email and AntiSpam (CEAS) (Mountain View)*, 2006.